

# Особенности влияния водорода на ВЗП-переход в $\text{NbSe}_3$

Х. Б. Чашка, В. А. Бычко, М. А. Оболенский,  
Райд Хасан, В. И. Белецкий

Харьковский государственный университет, Украина, 310077, г. Харьков, пл. Свободы, 4  
E-mail: mikhail.a.obolenskii@univer.kharkov.ua

А. В. Бастеев, А. Н. Прогнимак

Харьковский институт проблем машиностроения, Украина, 310046, г. Харьков, ул. Пожарского, 2/10

Статья поступила в редакцию 5 декабря 1996 г., после переработки 31 января 1997 г.

Проведено исследование влияния концентрации интеркалированного водорода на ряд физических характеристик  $\text{NbSe}_3$ . При масс-спектрометрических измерениях был обнаружен нелинейный характер выделения водорода из кристаллической структуры. Исследования электросопротивления позволили определить концентрационную зависимость температуры фазового перехода с образованием волны зарядовой плотности (ВЗП) и температурные зависимости пороговых полей пиннинга ВЗП. Обнаружен переход металл – полупроводник при определенных концентрациях внедренного водорода. Все исследования проводились в области существования первого ВЗП-перехода (90–300 К).

Проведено дослідження впливу концентрації інтеркальованого водню на ряд фізичних характеристик  $\text{NbSe}_3$ . При мас-спектрометрических вимірюваннях було виявлено нелінійний характер виділення водню із кристалічної структури. Дослідження електроопору дозволили визначити концентраційну залежність температури фазового переходу з утворенням хвилі зарядової густини (ХЗГ) і температурні залежності порогових полів піннінга ХЗГ. Виявлено перехід метал – напівпровідник при визначених концентраціях впровадженого водню. Усі дослідження проведено в області існування першого ХЗГ-переходу (90–300 К).

PACS: 71.45.Lr

Во многих слоистых и нитевидных металлических соединениях, в частности в  $\text{NbSe}_2$  и  $\text{NbSe}_3$ , обладающих высокой степенью анизотропии физических характеристик, наблюдаются фазовые переходы с образованием волны зарядовой плотности (ВЗП).

Нестабильность ВЗП была предсказана Пайерлом [1], который показал, что для одномерной цепочки атомов минимальная свободная энергия достигается при формировании ВЗП, при этом электронная плотность в заданном направлении описывается соотношением

$$\rho(x) = \rho_0 [1 + \alpha \cos(\mathbf{Q}x + \phi)], \quad (1)$$

где  $\rho_0$  – однородная электронная плотность;  $\alpha\rho_0$  – амплитуда зарядовой модуляции;  $\mathbf{Q} = 2\mathbf{k}_F$  – волновой вектор модуляции; фаза  $\phi$  характери-

зует положение ВЗП по отношению к решетке ионов.

Наличие ВЗП-переходов связано с возникновением участков поверхности Ферми, совмещающихся при параллельном переносе на вектор  $\mathbf{Q} = 2\mathbf{k}_F$  (нестинг). В таких условиях поляризуемость системы электронов в периодическом электрическом поле решетки велика и решетка становится неустойчивой относительно периодического искажения с волновым вектором  $\mathbf{Q}$ . На совмещающихся участках ферми-поверхности в энергетическом спектре открывается щель, что понижает величину электронной энергии. Волна зарядовой плотности возникает, если выигрыш в электронной энергии больше, чем прирост

упругой энергии, связанный с искажением кристаллической решетки.

В идеальных системах искажение решетки может перемещаться бездиссипативно, как распространяющаяся волна, что является следствием трансляционной инвариантности. Энергия ВЗП не зависит от фазы  $\phi$ . В реальных системах эта трансляционная инвариантность нарушается из-за пиннинга фазы на дефектах или на решетке.

Если в электрическом поле энергия ВЗП превышает энергию пиннинга, то ВЗП начинает скользить вдоль решетки, внося дополнительный вклад в проводимость.

Квантовая модель движения ВЗП, разработанная Бардиным [2], предполагает, что ВЗП может туннелировать через потенциальные барьеры в области  $E > E_{th}$  (где  $E_{th}$  — пороговое поле срыва ВЗП).

В этой модели было получено следующее выражение для проводимости:

$$\sigma(E) = \sigma_a + \sigma_b(1 - E_{th}/E) \exp(-E_0/E), \quad (2)$$

где  $\sigma_a$  — омическая проводимость;  $E_0$  — активационное поле, связанное с энергией пиннинга  $\varepsilon_g$  выражением

$$E_0 = \pi \varepsilon_g^2 / 4\hbar e^* v_F. \quad (3)$$

Здесь  $e^* = em^*/M_F$  — эффективный заряд;  $m^*$  — эффективная масса;  $M_F$  — фрелиховская масса носителей, характеризующая перенос в ВЗП-состоянии. Выражение (2) хорошо согласуется с экспериментальными данными для чистых образцов трихалькогенидов.

К настоящему времени было проведено много экспериментальных работ, посвященных изучению влияния примесей на ВЗП-состояние в  $NbSe_3$ . В основном эти работы были направлены на изучение влияния донорирования. Донорирование можно осуществлять замещением  $Nb$  атомами другого переходного металла, но при донорировании сложно точно определить концентрацию примесей, полученную в процессе роста монокристаллов, причем донорирование примесными атомами до высоких концентраций затруднительно и они неравномерно распределены по кристаллу [3].

Для низкоразмерных структур, таких как халькогениды переходных металлов, возможен отличный от донорирования путь введения примесей — интеркалирование.

В результате интеркалирования, независимо от вида интеркалянта и положения примеси в

решетке, наблюдаются два эффекта: изменение параметров исходной решетки и концентрации носителей заряда вследствие переноса заряда от интеркалянта к матрице. С этой точки зрения, интеркалирование водородом особенно интересно. В силу малого размера атома водород можно интеркалировать до высоких концентраций без значительных искажений решетки, а простота его электронной структуры облегчает интерпретацию экспериментальных данных.

В настоящее время в литературе практически отсутствуют сведения о комплексном экспериментальном изучении влияния изменения зонной структуры квазидномерных трихалькогенидов на термодинамические характеристики ВЗП-перехода и, в частности, на температуру ВЗП-перехода ( $T_{CDW}$ ), а также на движение ВЗП в электрических полях, превышающих  $E_{th}$ . Кроме того, открытым остается вопрос о влиянии подвижной примеси, какой может быть водород, на механизмы пиннинга ВЗП.

Исходя из этих соображений в данной работе исследовано влияние примеси водорода на ВЗП-переход в  $NbSe_3$ .

### Методика эксперимента

Монокристаллы триселенида ниобия были выращены методом химических газотранспортных реакций.

Насыщение образцов водородом проводилось из газовой фазы при постоянной температуре 350 °C и различных давлениях. Давление насыщения варьировалось от 2 до 10 бар.

Содержание водорода в образцах определялось масс-спектрометрически. Малая масса монокристалла не позволяла определять концентрацию водорода в одном монокристалле, поэтому применялась следующая методика. Из монокристаллов  $NbSe_3$  прессовались таблетки диаметром 5 мм и толщиной 1 мм. Давление прессования не превышало 5·10<sup>2</sup> бар. Из таблеток вырезалась центральная часть в виде бруска размерами 1×1×5 мм, которая впоследствии использовалась для резистивных измерений. Все три части таблетки и отдельный монокристалл  $NbSe_3$  помещались в ячейку для наводораживания. Сегментообразные части таблеток использовались для масс-спектрометрического анализа. Образцы помещались на ситалловые подложки с нанесенными на них токовыми и потенциальными подводами. Электрические контакты создавались

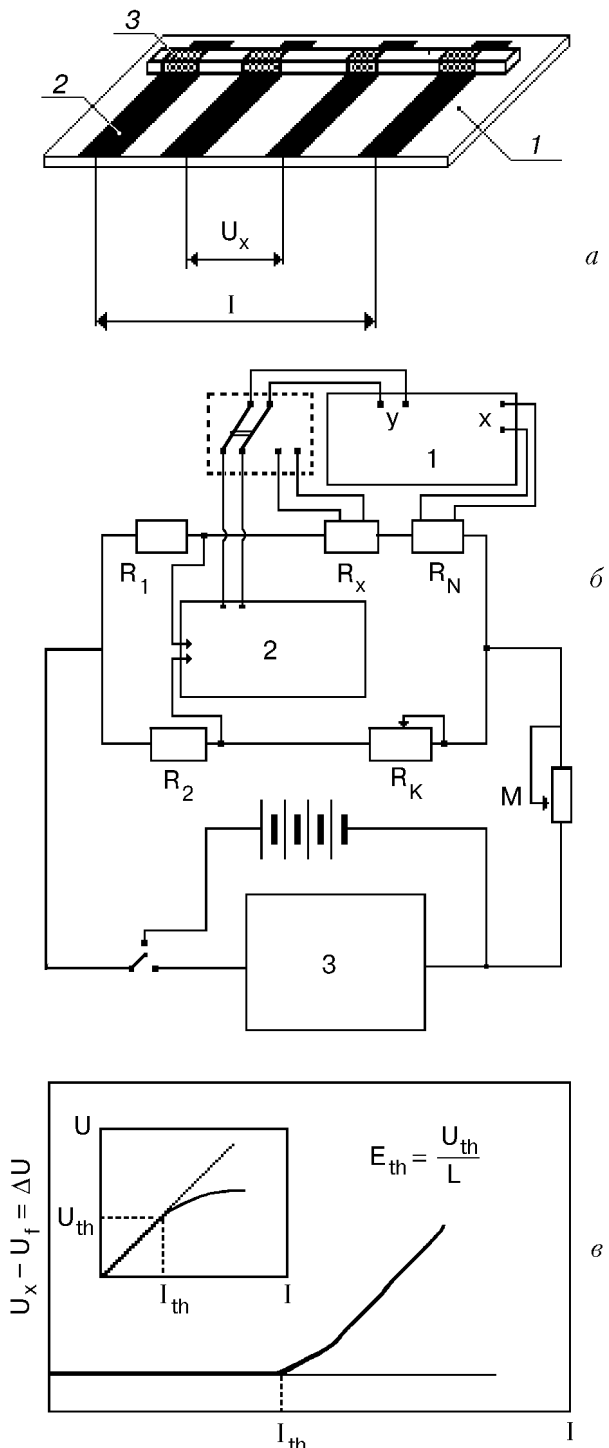


Рис. 1. а — Схема расположения образца на подложке: 1 — подложка, 2 — контактные площадки на подложке, 3 — образец; б — измерительная схема: 1 — самописец, 2 — фотоусилитель, 3 — генератор развертки постоянного тока; в — метод определения порогового поля срыва ВЗП по мостовой схеме. На вставке: пример записи ВАХ обычным способом.

с помощью проводящей серебряной пасты (рис. 1).

Было изучено влияние концентрации водорода на температурную зависимость

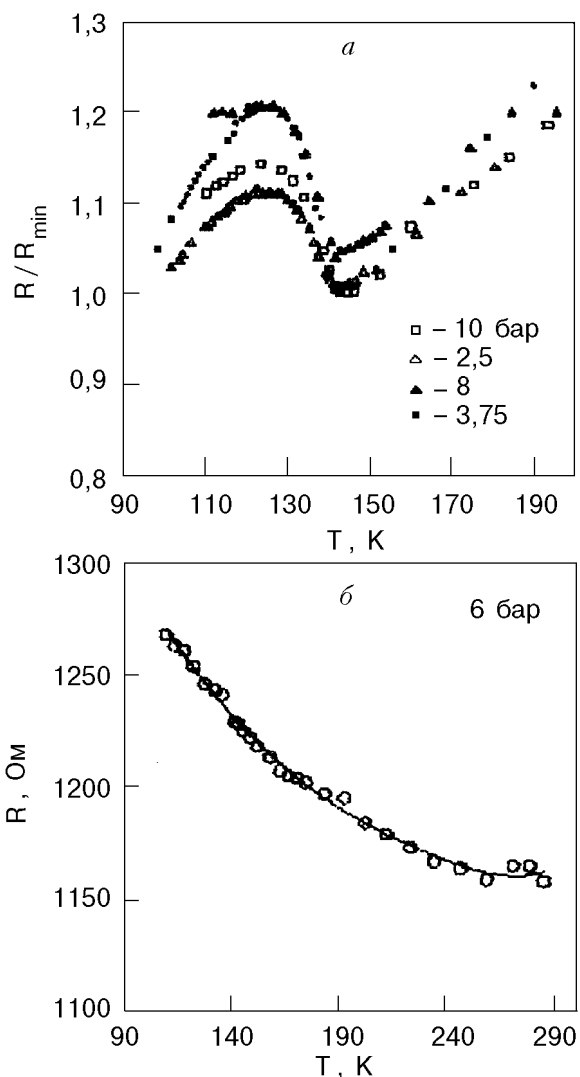


Рис. 2. Температурные зависимости электросопротивления при различных давлениях насыщения водородом для образцов с металлическим (а) и полупроводниковым (б) характером электросопротивления.

электросопротивления ( $R$ ) прессованных образцов. Результаты измерений представлены на рис. 2. Отметим, что при резистивных измерениях на приготовленных таким методом образцах, как показано в работе Монсо [3], отчетливо обнаруживаются все основные особенности поведения электросопротивления. В частности, таким методом можно надежно определить температуру ВЗП-перехода. Наряду с этим монокристаллический образец  $\text{NbSe}_3$  был насыщен при давлении 10 бар, после чего с помощью последовательного его нагрева в вакууме  $\sim 10^{-9}$  бар мы имели возможность уменьшать концентрацию водорода. Температура нагрева в таких экспериментах не превышала 200 °C, а результаты масс-спектрометрического анализа свидетельствуют, что при таких условиях

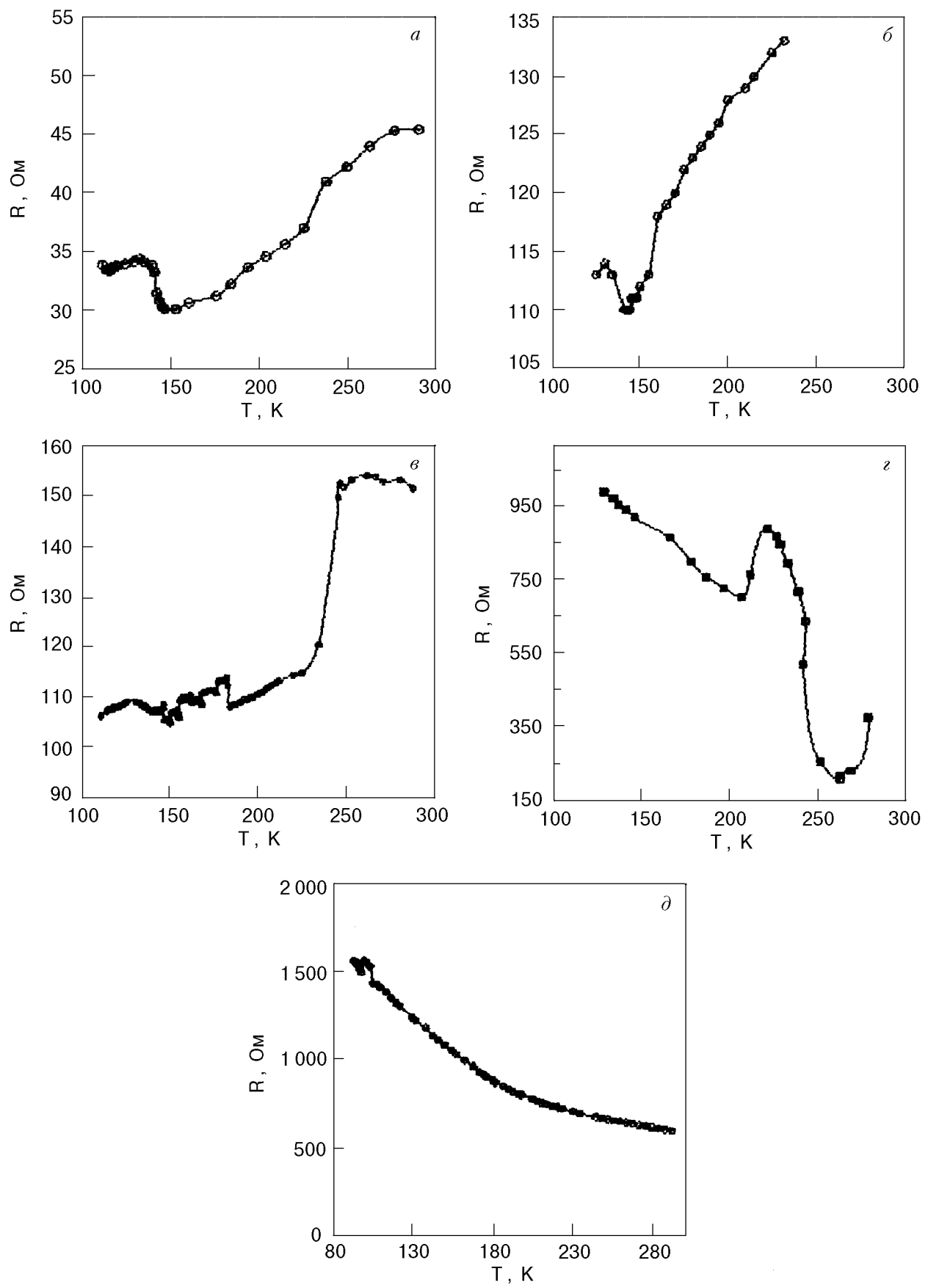


Рис. 3. Изменения температурной зависимости сопротивления монокристаллического образца в результате последовательного удаления водорода: после первого нагрева образца в вакууме (а), после второго нагрева в вакууме (б), через 48 (в), 96 (г) и 144 (д) часов.

происходит выделение водорода без потери стехиометрии соединения  $\text{NbSe}_3$ . Такая методика давала возможность проследить изменение  $T_{CDW}$ ,  $E_{th}$ ,  $I_{th}$  и других характеристик соединения при неизменных размерах образца. Таким образом, все характерные особенности, обнаруженные в наших экспериментах, можно связать в основном с изменением концентрации водорода. Результаты этих измерений представлены на рис. 3.

Измерения  $R$  проводились в температурном интервале 90–300 К. В этой области возникает первый ВЗП-переход в  $\text{NbSe}_3$ .

Для наблюдения нелинейной проводимости и определения пороговых значений напряженности электрического поля  $E_{th}$  и тока  $I_{th}$  измерялись вольт-амперные характеристики (ВАХ). Измерительная схема позволяла непосредственно записывать зависимость  $U(I)$  и по мостовой схеме измерять зависимость  $(U_x - U_f)$  от  $I$ , где  $U_x$  – напряжение на образце в состоянии с запиннингованной ВЗП;  $U_f$  – напряжение на образце в состоянии со скользящей ВЗП. Такой метод позволял увеличить на три порядка чувствительность измерительной схемы при определении  $I_{th}$ . Пороговое поле срыва  $E_{th}$  определялось как  $(I_{th} R_x)/L$ , где  $I_{th}$  – пороговое значение транспортного тока, определенное из измерений по мостовой схеме;  $R_x$  – сопротивление образца в запиннингованном состоянии, определенное на линейном участке ВАХ из зависимости  $U(I)$  и равное  $U_x/I$  при  $I < I_{th}$ ,  $L$  – расстояние между потенциальными контактами. Способы определения  $I_{th}$ ,  $R_x$ ,  $U_{th}$  показаны на рис. 1.

### Результаты экспериментов и их обсуждение

Результаты масс-спектрометрических измерений количества выделенного из таблеток водорода представлены на рис. 4. По-видимому, необычный, немонотонный вид зависимости количества выделившегося из образца водорода от давления насыщения может быть связан с условием проведения наших экспериментов. Поскольку выделение водорода из образцов проводилось при температуре  $T = 500$  °C, при анализе учитывался только тот водород, энергия связи которого меньше  $kT$ . Остальной водород при этой температуре может оставаться в решетке матрицы в связанном состоянии. Это предположение приводит к выводу о наличии по крайней мере двух неэквивалентных позиций водорода в решетке  $\text{NbSe}_3$ , что может быть связано с наличием в решетке  $\text{NbSe}_3$

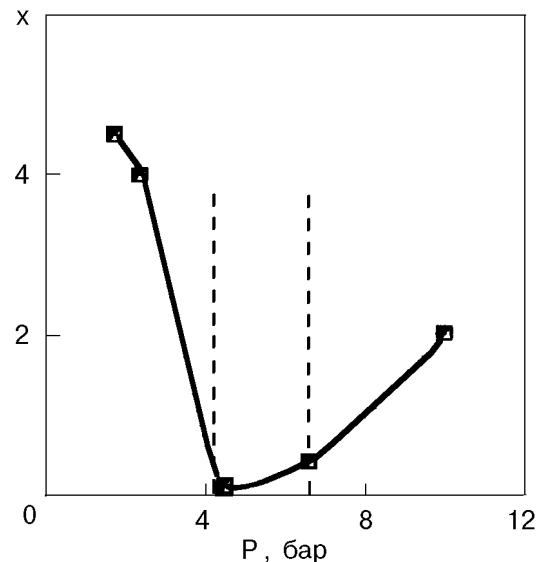


Рис. 4. Зависимость количества выделенного из образцов водорода от давления насыщения ( $x$  – число атомов на одну ячейку).

неэквивалентных цепочек, различающихся как межатомными расстояниями Nb–Se, Se–Se, Nb–Nb, так и энергией связи в цепочках [3]. Кроме того, это согласуется с результатами исследований системы  $\text{NbSe}_2$  – водород, в которой авторами настоящей работы были обнаружены два неэквивалентных состояния водорода с различной энергией связи [4]. Следует учесть, что элементарная ячейка  $\text{NbSe}_2$  близка по конфигурации к ячейке  $\text{NbSe}_3$ , но они различаются способом упаковки в слои или цепочки соответственно. Таким образом, по-видимому, в масс-спектрометрических измерениях неточно определено количество водорода, но, с другой стороны, данные свидетельствуют о том, что увеличение давления насыщения приводит к перераспределению водорода внутри решетки и к увеличению относительного количества сильно связанного водорода.

Результаты измерений электросопротивления поликристаллических прессованных образцов приведены на рис. 2. На рис. 2,а значения сопротивления нормированы на минимальное значение  $R_{min}$  в области ВЗП-перехода. На рис. 2,б значения  $R$  даны в абсолютных единицах. Отметим, что металлический ход электросопротивления наблюдается при давлениях насыщения 8 бар  $> P > 3,75$  бар. Увеличение давления насыщения приводит к общему росту  $R$ . При этом, однако, как видно из рисунка, сохраняются все особенности, характерные для ВЗП-перехода. В образцах, насыщенных при давлениях 6 бар, наблюдался

полупроводниковый ход электросопротивления. Оценка ширины запрещенной зоны из резистивных измерений дает значение  $\Delta/k_B = 17$  К (где  $\Delta$  — энергетическая щель, а  $k_B$  — постоянная Больцмана). В работе Фаликова и Балсейро [5] показано, что температура ВЗП-перехода описывается соотношением

$$T_{CDW} = 1,14 \hbar \omega_0 \exp [-1/(\lambda_{\text{eff}} N(\varepsilon))] , \quad (4)$$

где  $N(\varepsilon)$  — плотность электронных состояний на уровне Ферми;  $\lambda_{\text{eff}}$  — эффективная константа электрон-фононного взаимодействия. Таким образом, температура ВЗП-перехода является функцией плотности состояний. В приближении жесткой зоны интеркалирование водородом должно приводить к смещению фермиевского уровня. Отметим, что в такой модели насыщение водородом может служить эффективным методом влияния на зонную структуру. Обычно водород, интеркалированный в решетку низкоразмерных структур, является донором, способствуя заполнению зоны проводимости и смешая фермиевский уровень так, что проводимость образцов возрастает. В работе Буллетта [6] проведены детальные расчеты зонной структуры и показано, что зона проводимости является достаточно узкой, а уровень Ферми расположен на достаточно плавном участке слева от пика зависимости  $N(\varepsilon)$ . В этом случае насыщение водородом должно приводить к резкому росту плотности состояний, когда  $\varepsilon_F$  приближается к пику кривой  $N(\varepsilon)$ , что, в свою очередь, должно отражаться и на соответствующем поведении  $T_{CDW}$ . Зависимость  $T_{CDW}$  от давления насыщения, показанная на рис. 5, качественно

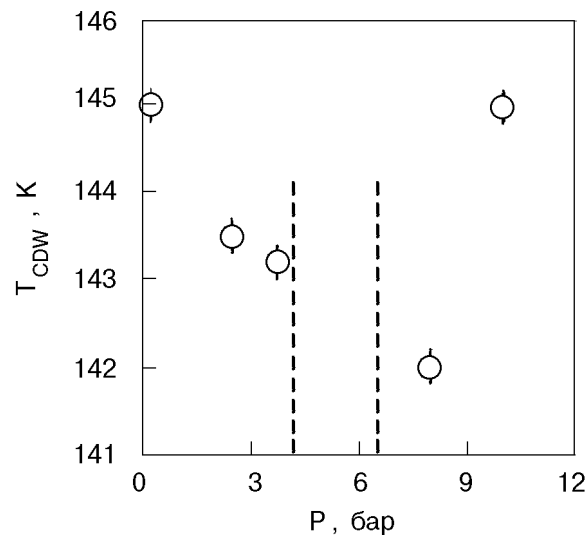


Рис. 5. Зависимость температуры ВЗП-перехода от давления насыщения водородом, измеренная для таблетированных образцов.

согласуется с предложенным механизмом. Полное заполнение зоны проводимости должно приводить к возникновению полупроводникового состояния, что и наблюдается в эксперименте. Открытым остается вопрос о природе металлического состояния при более высоких давлениях насыщения и соответственно при более высоких концентрациях водорода. С целью изучения этого состояния нами было исследовано электросопротивление монокристаллических образцов, насыщенных водородом при  $P \sim 10$  бар с дальнейшим постепенным уменьшением его содержания. Эволюция температурного хода  $R$  исследуемого образца представлена на рис. 3. Как и на прессованных образцах, исходное поведение  $R$  этого образца имеет металлический характер. Последовательное удаление водорода

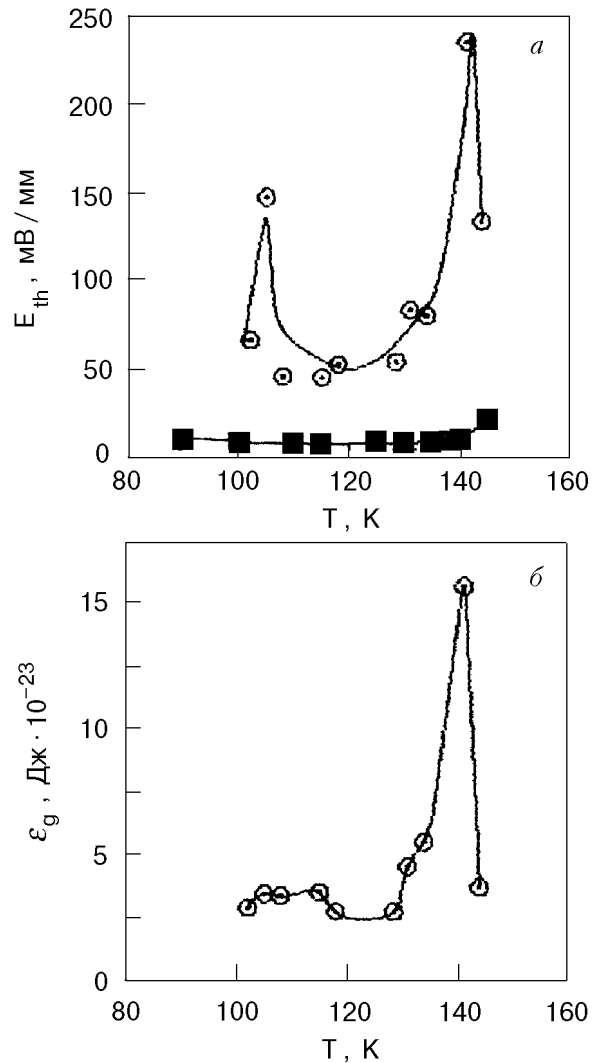


Рис. 6. Температурные зависимости порогового поля  $E_{th}$  для чистого (■) и насыщенного водородом (○) при давлении 10 бар образцов (а) и энергии пиннинга  $\varepsilon_g$ , рассчитанной из соотношения (3) для монокристаллического образца, насыщенного водородом при 10 бар (б).

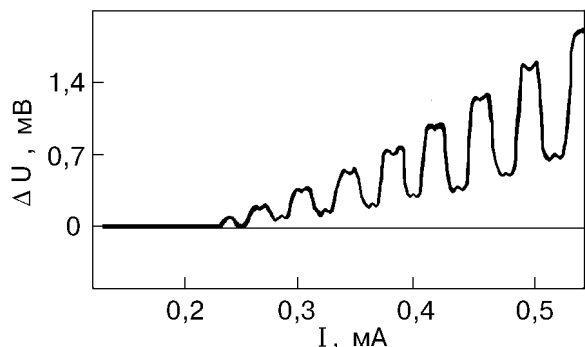


Рис. 7. Пример записи осцилляций напряжения на образце, находящемся в состоянии, соответствующем рис. 3,б.

из образца ведет к общему росту сопротивления и в конечном итоге к возникновению полупроводникового состояния. Оценка значения энергетической щели в этом случае дает  $\Delta/k_B \sim 180$  К, что по порядку величины приближается к результатам, полученным Буллеттом [6]. Можно предположить, что увеличение давления насыщения ведет к частичному заполнению следующей энергетической зоны. Однако удивительно то, что при этом очень слабо изменяется значение  $T_{CDW}$ . К сожалению, в наших экспериментах отсутствуют данные по концентрационной зависимости  $T_{CDW}$  при малых концентрациях водорода, однако такие измерения планируются в ближайшем будущем.

Результаты исследований пороговых полей на монокристаллическом образце, насыщенном водородом при 10 бар, приведены на рис. 6,а. Как видно, значения  $E_{th}$  существенно отличаются от полученных для чистых образцов как по абсолютной величине пороговых полей, что согласуется с результатами работы [7], так и наличием спадающих участков для  $E_{th}(T)$  при  $T > 140$  К и  $T < 104$  К, которые отсутствуют для чистых образцов [3]. Рассчитанная по соотношению (3) температурная зависимость энергии пиннинга показана на рис. 6,б. Она также имеет явно выраженный максимум при  $T \sim 140$  К. Такие особенности поведения  $E_{th}$ , с нашей точки зрения, указывают на то, что атомы водорода являются эффективными центрами пиннинга, а наличие пика на кривой  $\epsilon_g(T)$  свидетельствует об увеличении подвижности водорода при увеличении температуры в присутствии электрического поля. Вопрос о том, является пиннинг сильным или слабым, остается открытым и требует дальнейших исследований. В ходе экспериментов по мере приближения образца к полупроводниковому состоянию нами

было обнаружено, что в области электрических полей  $E > E_{th}$  возникают низкочастотные колебания напряжения, один из примеров записи которых приведен на рис. 7. Детальное обсуждение результатов этих экспериментов будет подробно описано в следующем сообщении.

## Выводы

1. Обнаружена слабая зависимость температуры первого ВЗП-перехода от концентрации интеркалированного водорода.

2. По сравнению с чистыми образцами значения порогового поля срыва ВЗП для наводороженных образцов возрастают и качественно меняется форма кривой температурной зависимости пороговых полей срыва ВЗП.

3. Результаты масс-спектрометрического анализа дают немонотонную зависимость количества выделяющегося водорода от давления насыщения с минимумом в области  $P \sim 6$  бар.

4. Образцы, насыщенные при  $P \sim 6$  бар, имеют полупроводниковый ход электросопротивления.

В заключение отметим, что система  $\text{NbSe}_3$  – водород обнаруживает ряд интересных и необычных особенностей поведения. Безусловно, необходимы дальнейшие исследования для выяснения местоположения водорода в решетке, энергии связи и зарядового состояния атомов водорода, занимающих различные позиции. Интеркалирование водородом может быть информативным методом исследования формы кривой  $N(\epsilon)$ . Кроме того, если водород является подвижной примесью, то во внешнем электрическом поле он существенным образом должен влиять на нелинейное поведение электросопротивления в ВЗП-состоянии для обоих переходов в  $\text{NbSe}_3$ .

Эта работа частично выполнена в рамках Международной соросовской программы поддержки образования в области точных наук (ISSEP), грант № SPUO62041.

1. П. Пайерлс, *Квантовая теория твердых тел*. Изд-во иностр. лит., Москва (1956).
2. J. Bardeen, *Phys. Rev. Lett.* **42**, 1498 (1979); *Phys. Rev. Lett.* **45**, 1978 (1980); *Physica* **B14**, 143 (1986).
3. *Electronic properties of Inorganic Quasi-One-Dimensional Materials*, P. Monceau (ed.), v. 2, 139-263, D. Reidel Publishing Company Dordrecht, Boston, Lancaster (1986).
4. М. А. Оболенский, Х. Б. Чашка, В. И. Белецкий, А. В. Бастиев, *Экспериментальное исследование системы  $\text{NbSe}_2$  – водород*, АН УССР ИП Маш., Препринт-227, 47 (1988).
5. C. A. Balseiro and L. M. Falikov, *Phys. Rev.* **B20**, 4457 (1979).

- 
6. D. W. Bullett, *J. Phys.* **C15**, 3069 (1982).
  7. R. E. Thorne, T. L. Adelman, J. Mc. Carten, M. Maher, and A. Mc.Dowle, *Phys. Rev.* **B40**, 6 (1989).

### The effect of hydrogen on CDW-transition in $\text{NbSe}_3$

Kh. B. Chashka, V. A. Bichko, M. A. Obolenskii,  
Raid Hasan, V. A. Beletskii,  
A. V. Basteev, and A. M. Prognimak

The influence of intercalated hydrogen concentration on physical properties of  $\text{NbSe}_3$  has been

investigated. The mass-spectrometer analyses showed a non-linear character of the curves of hydrogen extraction versus pressure of saturation from the crystal structure. The resistive measurements made it possible to study concentration dependence of  $T_{CDW}$  and temperature dependences of CDW-pinning threshold fields. A metal-semiconductor transition was observed at certain concentrations of saturation hydrogen. The investigations were carried out in the first CDW-transition temperature region (90–300 K).